

Zakład Badawczo Lecznicy Chorób Nerwowo – Mięśniowych
Instytut Medycyny Doświadczalnej i Klinicznej PAN
ul.Pawińskiego 5, 02-106 Warszawa
Tel/ fax /4822/ 658 45 01

Badanie wycinka mięśniowego w mikroskopie świetlnym

Nr:26/08

Imię i nazwisko :

Wiek: 46

Rozpoznanie: Miopatia metaboliczna

Data pobrania wycinka: 15 IX o8r.

Mięsień: biceps sin.

Barwienie: H-E, trichrom Gomoriego, DHB, DHM, DPNH, ATP-azy

W pobranym wycinku włókna mięśniowe o prawidłowej średnicy i strukturze ułożone są w pęczki oddzielone niewielką ilością tkanki łącznej. W przestrzeni między włókienkowej widoczne są pojedyncze nerwy wewnątrz mięśniowe. Podział włókien na typy metaboliczne zachowany z niewielką przewagą włókien typu 2, aktywność enzymów prawidłowa.

Wnioski: obraz wycinka nie odbiega od normy.

Analiza mikroskopowo elektronowa : struktura włókien mięśniowych prawidłowa.

W wycinku znaleziono także prawidłowe nerwy wewnątrz mięśniowe i ich zakończenia – płytki ruchowe.

Wnioski: dostarczony fragment mięśnia nie wykazuje zmian w strukturze komórek mięśniowych ani w ich unerwieniu.

Badanie biochemiczne:

Palmitylotransferaza karnityny 8,55 nM/mgB/min

/6,5 – 18 nM/mgB/min/

Kacianka

Przypadek 26/08 (55/08 ME)

Rozpoznanie: Miopatia metaboliczna

Fig. 1. Zachowana struktura włókien mięśniowych

Fig 2,3,4,5. Prawidłowe nerwy wewnątrzmięśniowe.

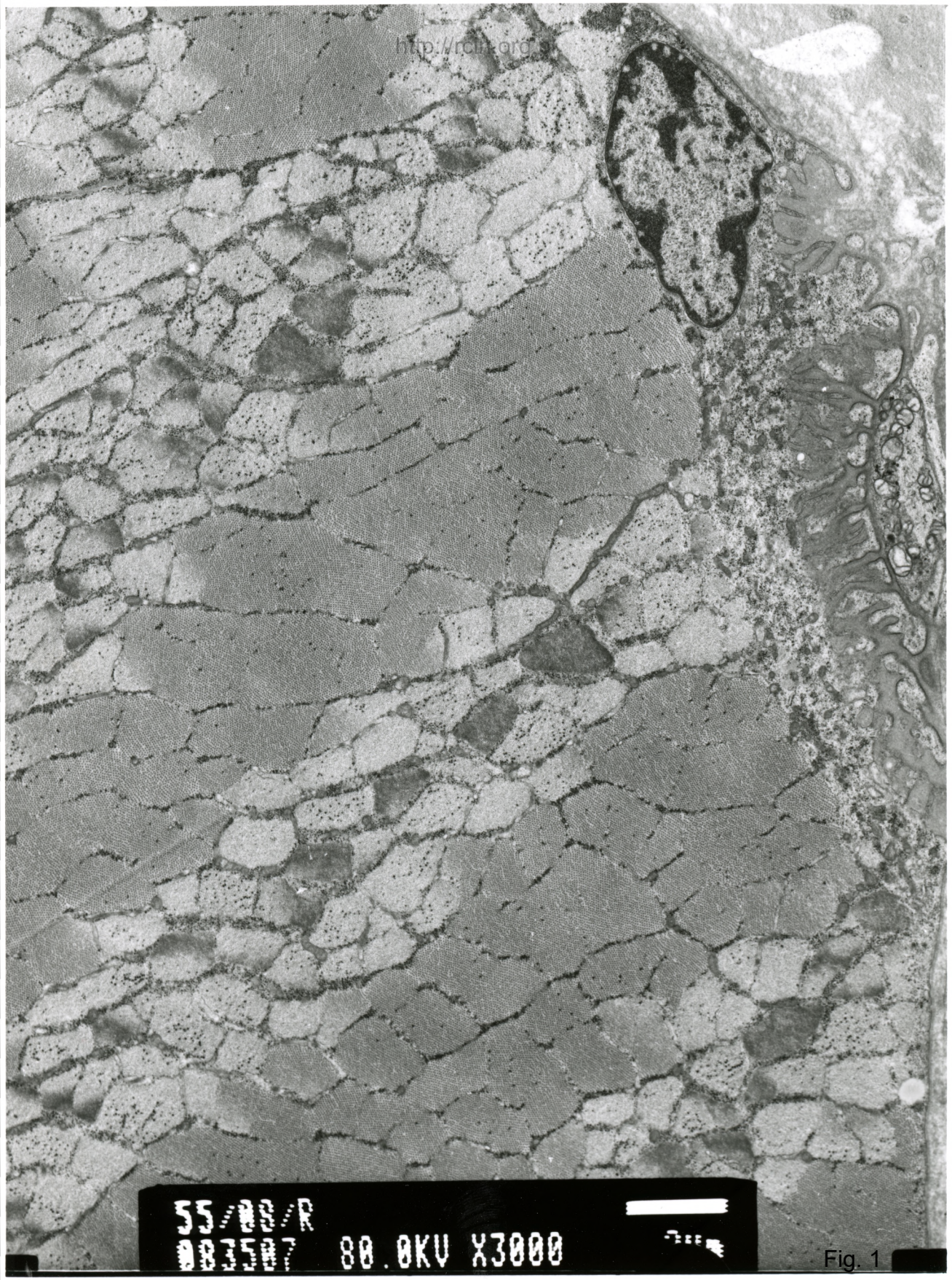
Fig. 6,7,8. Prawidłowe płytki nerwowo-mięśniowe.

Summary

A 46-year-old patient with suspected metabolic myopathy was examined. A biceps sinister biopsy was performed.

No ultrastructural changes in muscle fibers structure were observed (Fig 1). Electron microscopy analysis revealed unchanged intramuscular nerves (Fig 2,3,4,5) and normal normal structure of neuromuscular junctions (Fig. 6,7,8).

Biochemical evaluation of carnitine palmitoyltransferase in the muscle tissue was performed and the result was 8,55 nM/mgB/min. (Norm 6,5-18 nM/mgB/min.).



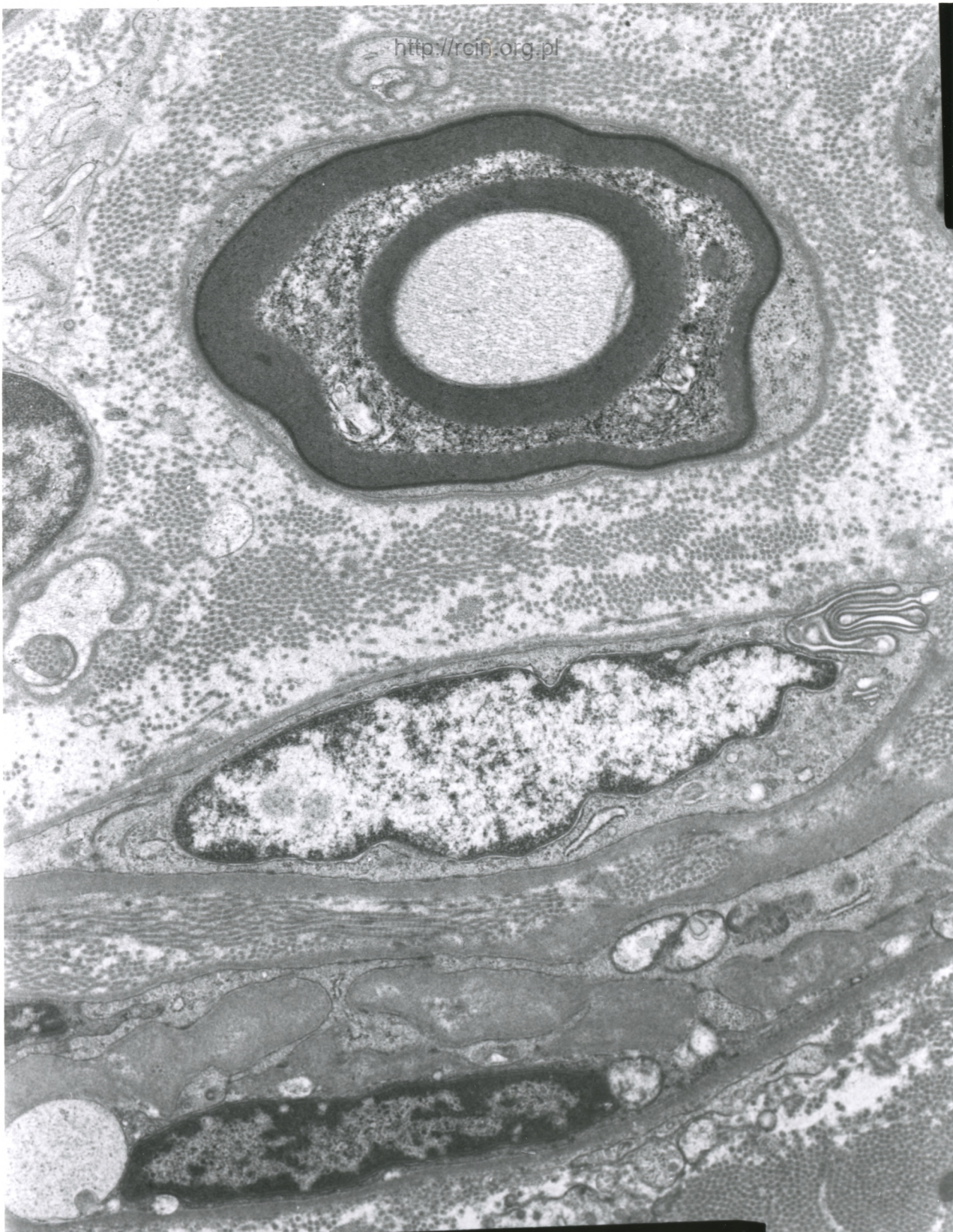
55 00 R
003507 80.0KV X3000

Fig. 1



55/00/R
083508 80.0KV X4000 74

Fig. 2



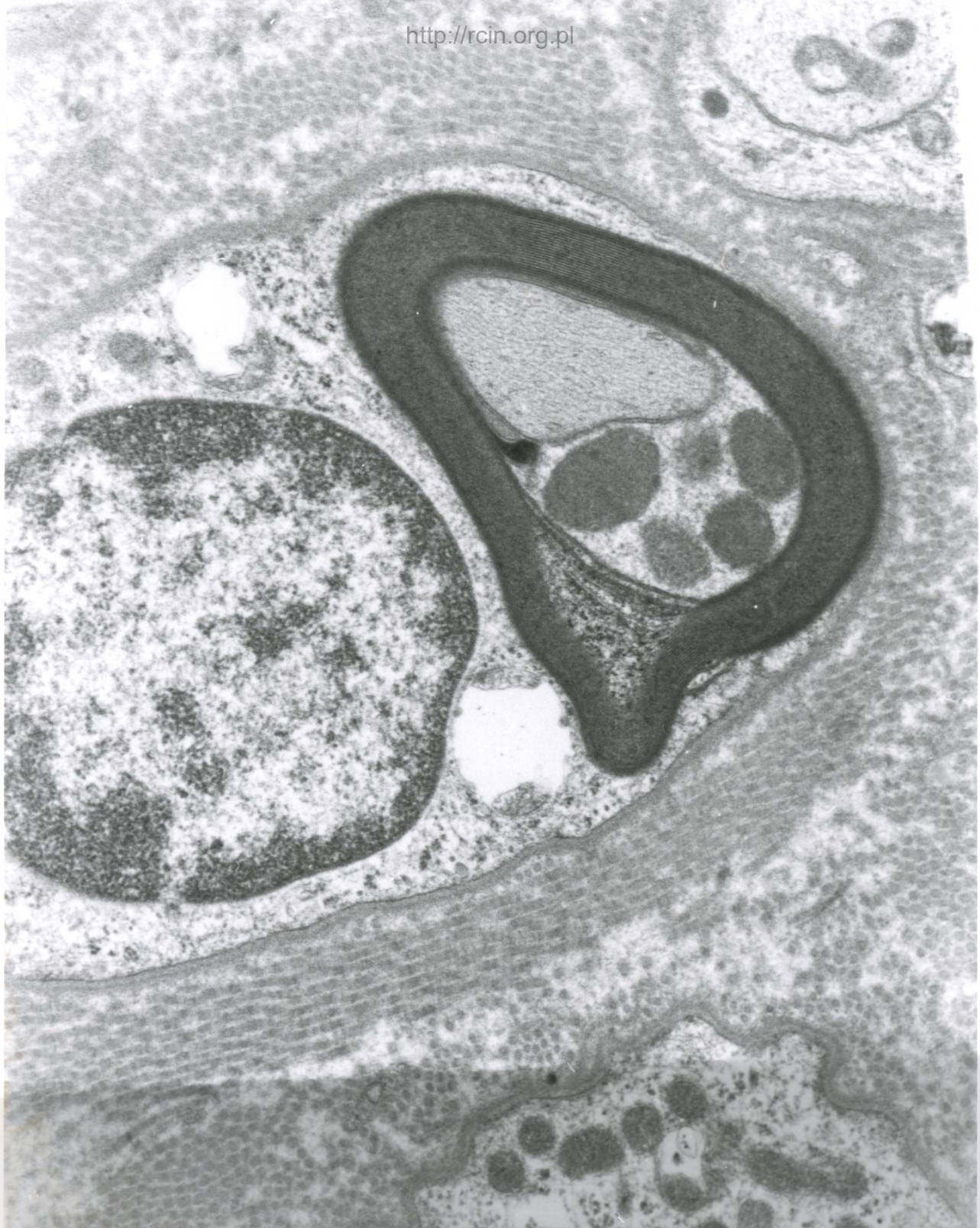
AF 56/88
143/71 80 OKU X6000

Fig. 3



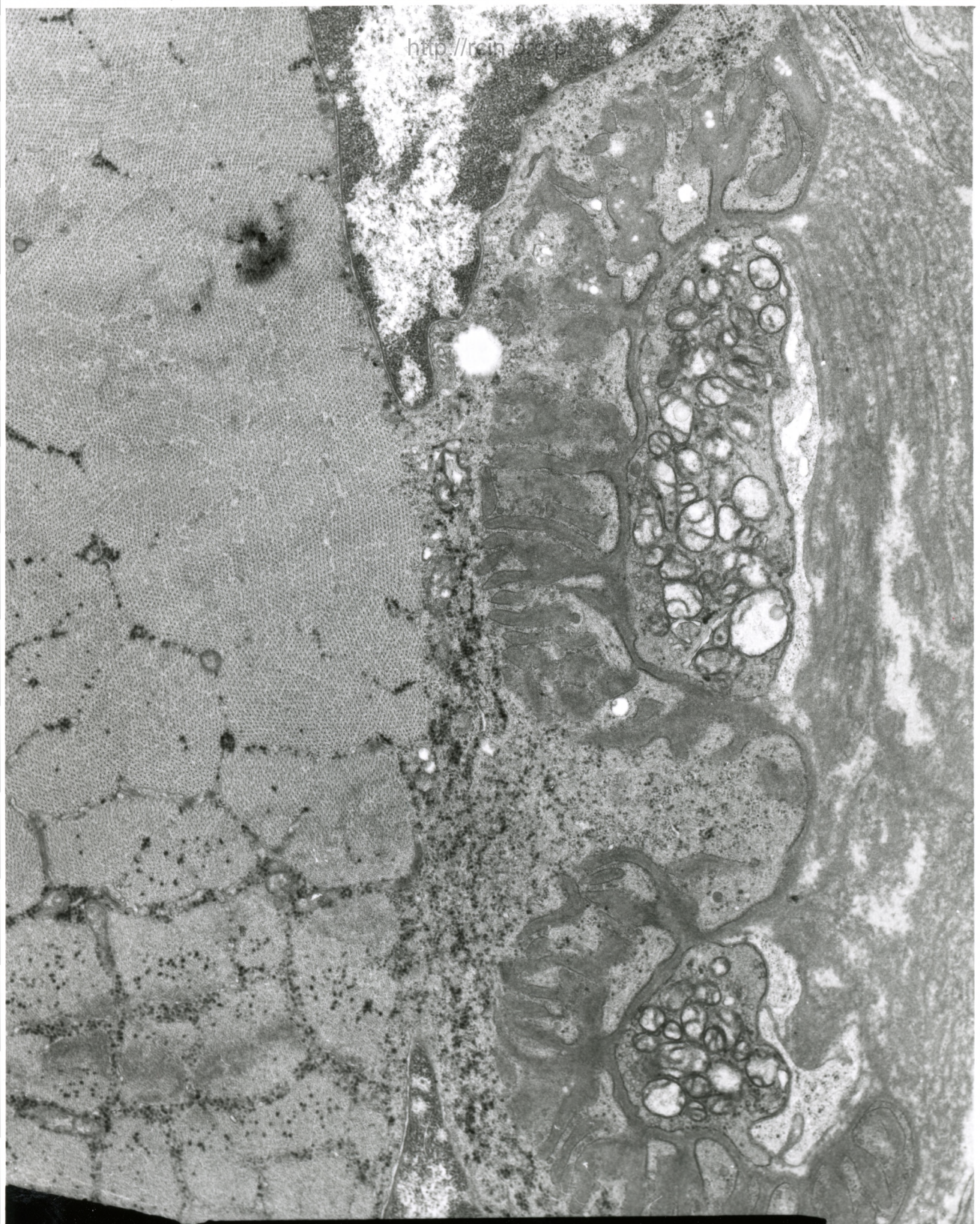
AF 56/08
143773 80.0KV X12K 500nm

Fig. 4



AF 56/98
143775 80.0KV X12K 500nm

Fig. 5



55/08/R
083504

80.0KV X6000

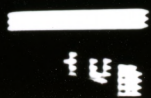
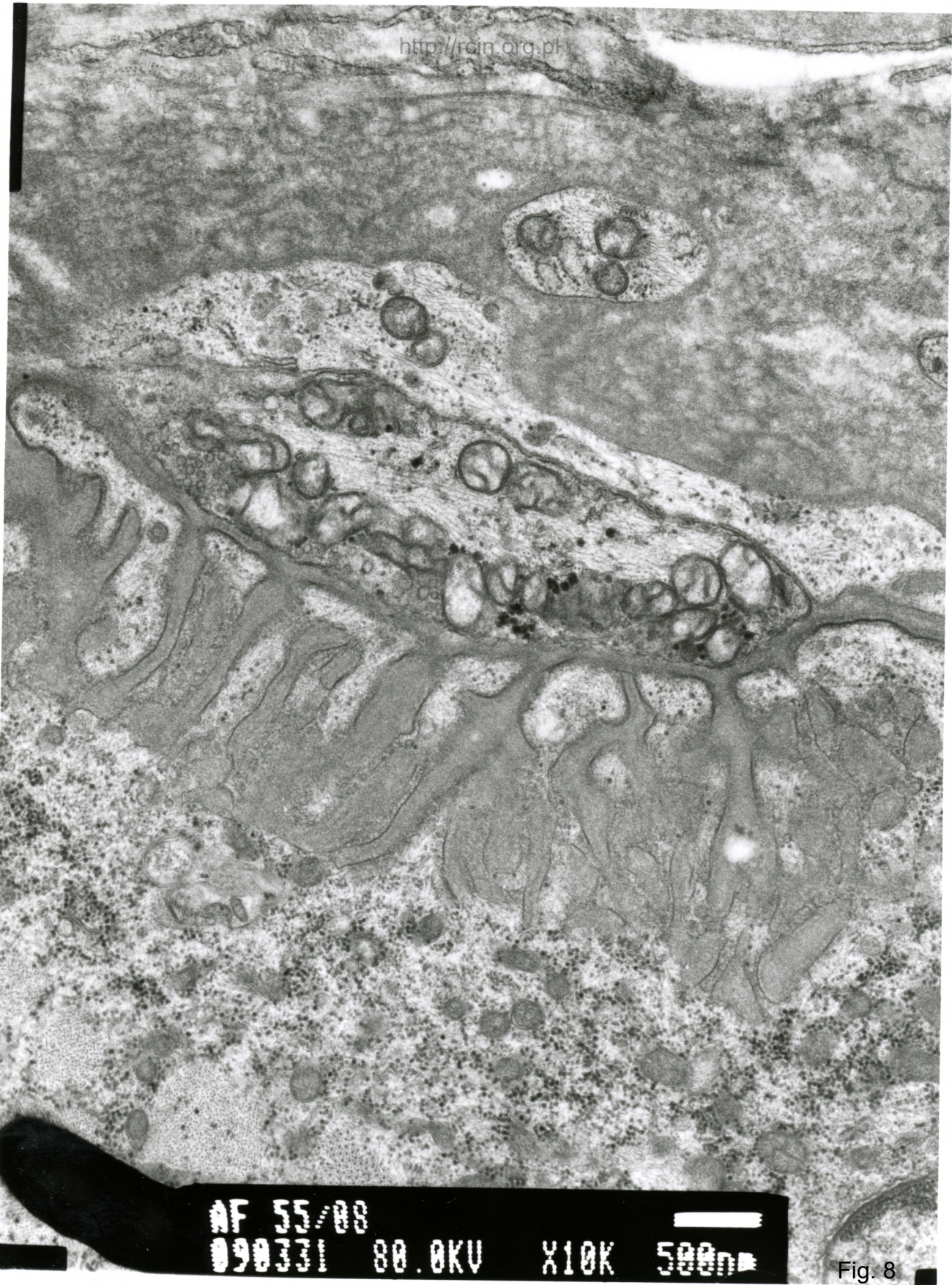


Fig. 6



AF 55/88
11774 80 OKU X7500 1µm

Fig. 7



AF 55/08

090331

80.0KV

X10K

500nm

Fig. 8